

文章编号:1005-0523(2013)04-0014-05

在纠缠量子系统中的图像几何形状存储和检索

黎海生,周日贵

(华东交通大学信息工程学院,江西 南昌 330013)

摘要:图像几何形状的分割是基于图像内容的搜索的关键技术,为了提高基于图像内容的搜索的高效性和准确性,可以预先存储图像的几何形状。该文介绍了用最大纠缠的量子态来表示几何形状,设计了量子线路实现几何形状的存储,并提出了改进的几何形状存储和检索方法。

关键词:量子图像处理;图像存储与检索;量子纠缠

中图分类号:TP301.6;O413.1

文献标志码:A

量子计算^[1]具有量子相干性、纠缠性以及量子态叠加性等固有特性,这种独特的计算性能引起了广泛关注,迅速成为国际上研究的热点。事实上,利用这种独特的性质,Shor设计了多项式加速整数的因式分解和离散对数算法^[2],Deutsch利用量子并行性和量子相干实现信息并行计算^[3],Grover的无序数据搜索算法实现二次加速^[4],这些算法至今都是经典算法无法逾越的。

为了从真实的世界抽取出信息,对图像处理领域的研究者来说,可视信息的存储、处理与检索是第一顺序的任务。在经典的计算机中,图像的像素和坐标是用相互无关联的bit位存储,因此存储图像需要很大的存储空间,并且对图像并行处理比在量子系统中更困难。为了提高存储能力和计算性能,可采用量子计算和图像处理相结合的技术——量子图像处理。近年来,一些量子图像处理的算法被提出,在量子系统中,可以用颜色的物理特性频率而不需要按RGB模式或HIS模式来表示颜色,这样就可以仅仅用1-qbit量子态来存储一个颜色^[5]。文献[6]提出用一组量子态表示颜色,并讨论了如何检索出一幅存在量子系统中的图像,文献[7]提出一个量子变换的加密和解密算法。量子计算能被量子门实现,文献[8-9]显示通用的量子门能够表示成一位量子门和二位量子门的组合。

在量子系统中,纠缠是一种非常重要的资源^[10],文献[11]通过使用最大纠缠的量子态来表示图像的多边行几何形状的顶点,因此能够重建一幅图像而不需要存储另外的附加信息。本文改进了文献[11]中的几何形状存储和检索方法,并用量子线路实现图像的存储。

1 基本的量子门

在量子计算中,一个量子态可用希尔伯特空间的一个矢量来表标记,狄拉克用符号 $| \rangle$ 和 $\langle |$ 来标记右矢和左矢。 $|v\rangle$ 和 $\langle v|$ 是量子系统中的一对厄密特共轭态,它们被定义如下

$$|v\rangle = \begin{bmatrix} v_0 \\ v_1 \\ \vdots \\ v_{n-1} \end{bmatrix}, v_i \in C, i=0, 1, \dots, n-1, \langle v| = |v\rangle^+ = [v_0^+ \quad v_1^+ \quad \dots \quad v_{n-1}^+].$$

符号 \otimes 表示矩阵的张量积,可定义如下

收稿日期:2013-06-22

基金项目:教育部人文社科项目(12YJAZH050);教育部科学技术研究重点项目(212094)

作者简介:黎海生(1974—),男,讲师,博士研究生,研究方向为量子图像处理与量子计算。

$$|u\rangle = \begin{bmatrix} u_0 \\ u_1 \\ \vdots \\ u_{n-1} \end{bmatrix}, u_i \in C, i=0, 1, \dots, n-1, |u\rangle \otimes |v\rangle = \begin{bmatrix} u_0v \\ u_1v \\ \vdots \\ u_{n-1}v \end{bmatrix}$$

是 $n^2 \times 1$ 的向量。 $|u\rangle \otimes |v\rangle$ 也可以表示成

$|u\rangle|v\rangle$ 或 $|uv\rangle$ 。

在二维希尔伯特空间(也被称为一个量子位 qubit)的量子叠加态可表示为 $|\psi\rangle = a|0\rangle + b|1\rangle$, 其中 $|a|^2 + |b|^2 = 1$, 两个计算基 $|0\rangle$ 和 $|1\rangle$ 的矩阵表示是

$$|0\rangle = \begin{bmatrix} 1 \\ 0 \end{bmatrix}, |1\rangle = \begin{bmatrix} 0 \\ 1 \end{bmatrix}$$

在量子计算中,通过对量子状态进行一系列的酉变换来实现某些逻辑变换功能,因此,在一定时间间隔内实现逻辑变换的量子装置,被称为量子门。图1是本文要用到的一些量子门的符号标识和矩阵表示。假设 C_a 是一个在图1中的 N qubit 受控非门, C_a 的功能为

$$C_a|i_1i_2 \dots i_{n-1}i_n\rangle = |i_1i_2 \dots i_{n-1}\bar{i}_n\rangle$$

$$C_a|j_1 \dots j_n\rangle = |j_1 \dots j_n\rangle, \text{当 } |j_1 \dots j_n\rangle \neq |i_1 \dots i_n\rangle$$

其中, $i_1, i_2, \dots, i_{n-1}, i_n \in \{0, 1\}, \bar{i}_n = 1 - i_n$ 。

2 图像几何形状的存储

基于图像内容(例如图像中物体的几何形状)的搜索是有巨大潜力的研究领域^[12],为了高效准确的搜索出想要的图像,那么图像分割是非常关键的技术。经典计算机中有很多好的分割算法,如 snake-和区域增长。但要实现好的效果,分割算法将花费比较多的时间。为了提高基于图像内容的搜索的高效性和准确性,我们先用经典分割算法对图像处理,将图像中的几何形状的物体分割出来,对于某些特殊图像(例如图像中的物体有重叠的部分),我们可以采用人机交互的方式,比如用 Photoshop 软件将物体形状分割出来,然后存储到量子系统中。这是我们用纠缠量子态存储图像几何形状的动机。

2.1 图像几何形状的表达

Venegas 使用将简单二进制图像(图像只有黑白两种颜色)的几何形状表示成最大纠缠的量子态^[11],我们简单描述如下:

最大纠缠的 n 粒子量子态 $|GHZ\rangle^n$ 定义如下

$$|GHZ\rangle^n = \frac{|0\rangle^{\otimes n} + |1\rangle^{\otimes n}}{\sqrt{2}} \tag{1}$$

式中: $|0\rangle^{\otimes n}$ 表示 $|0\rangle$ 的 n 次张量积。例如4粒子量子态 $|GHZ\rangle^4 = 2^{-1/2}(|0000\rangle + |1111\rangle)$ 。假设我们用 m qubits 的二维量子阵列作为存储器,那么这个存储器的初始态可表示为

$$|\psi_{\text{initial}}\rangle = \bigotimes_{i=1}^m |0\rangle_i$$

式中: $i \leftrightarrow (x, y)$, 按照先行后列的顺序将 r 行 c 列的二维阵列变成一个一维阵列,即

$$i = (x-1) \times c + y, x \in [1, r], y \in [1, c] \tag{2}$$

用一个量子组合态可表示图2中的一幅 5×5 的图像

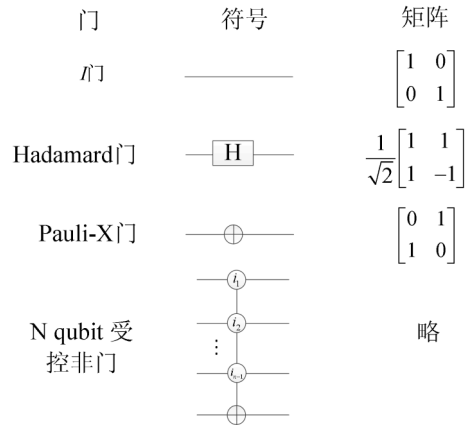


图1 一些量子门的符号与它们对应的矩阵
Fig.1 The notations of some quantum gates with their corresponding matrices

$$|\psi_{25}\rangle = \bigotimes_{i=1, i \in B}^{25} |0\rangle_i \otimes |GHZ\rangle_{1,4,16,19} \otimes |GHZ\rangle_{7,10,22,25} \quad (3)$$

其中 $B = \{i | i \neq 1, 4, 5, 10, 16, 19, 23, 25\}$ 。

由于 $(1, 1), (1, 4), (4, 1), (4, 4)$ 是图2中一个四边形的顶点, 可以用4粒子 GHZ 态表示为

$$|GHZ\rangle_{1,4,16,19} = \frac{|0000\rangle_{1,4,16,19} + |1111\rangle_{1,4,16,19}}{\sqrt{2}} \quad (4)$$

另一个四边形可用另外一个4粒子 GHZ 态表示

$$|GHZ\rangle_{7,10,22,25} = \frac{|0000\rangle_{7,10,22,25} + |1111\rangle_{7,10,22,25}}{\sqrt{2}} \quad (5)$$

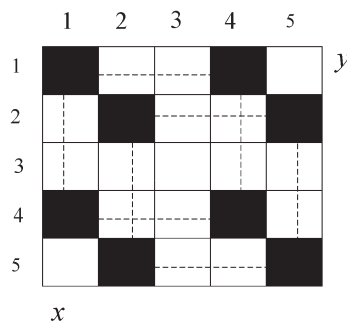


图2 一幅 5×5 的图像(虚线连接的形状是两个四边形)
Fig.2 An 5×5 image (the shapes connected by dotted lines are two quadrilaterals)

2.2 量子线路实现

我们用图1中的量子门设计出一个量子线路将图像几何形状存储到量子系统。将图3中的量子线路作用在初态 $|0\rangle^{\otimes n}$ 上, 可生成最大纠缠的 n 粒子量子态(见公式(1))。将图4中的量子线路作用在初态 $|\psi_{\text{initial}}\rangle = \bigotimes_{i=1}^{25} |0\rangle_i$ 上, 可以生成公式(3)中的量子态 $|\psi_{25}\rangle$, 即通过量子线路将图2中的 5×5 的图像存储到量子系统。图4中虚线框1和2分别实现公式(3)和(4)。

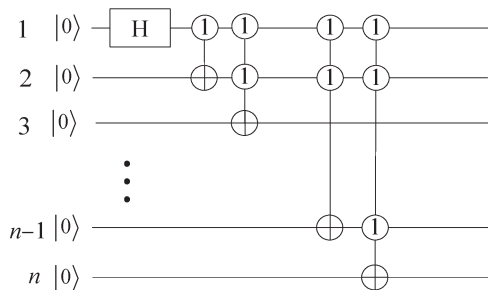


图3 n 粒子量子态 $|GHZ\rangle$ 的实现

Fig.3 The achievement of n particle quantum state $|GHZ\rangle$

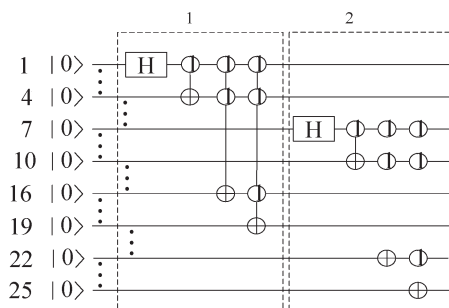


图4 量子线路实现图2中的 5×5 的图像
Fig.4 The quantum circuit realization of the 5×5 image in Fig.2

3 改进的几何形状的存储与检索方法

n 粒子的贝尔型(Bell-type)不等式可以判断这 n 个粒子是否是处于 n 粒子最大纠缠态^[13], 文献[11]用这个方法检索出最大纠缠态, 但要知道一些关于量子系统中图像的大小、几何形状的个数以及各个几何形状的类型先验知识, 这些信息可以存储在另一个量子阵列。假设要检索出图2中的两个四边形, 利用贝尔型不等式来判断四个粒子是否处于最大纠缠, 总共需要 $C_{25}^4 \times C_{21}^4$ 次检测。为了减少先验知识的信息量及检测的次数, 我们改进文献[11]中的存储和检索方法。

3.1 改进的几何形状的存储方法

我们可以将先验知识的信息减少到只存储 $2+m$ 个数 $n_x, n_y, s_1, s_2, \dots, s_m$, 这些数的含义是图像的大小为 $n_x \times n_y$, 总共有 m 个几何形状, 各个几何形状的顶点数分别是 s_1, s_2, \dots, s_m 。假设我们知道某幅图像的先验知识是 $8, 8, 8, 8$ 。利用贝尔型不等式检测出一个8粒子的最大纠缠态, 但这并不一定能得出正确的形状, 因为8个顶点可以构成多个不同的多边形, 图5列出了3种可能的几何形状。

因此, 我们采用如下的存储策略来使检测出来的形状唯一: 假设要存储的形状为闭合路径 $s_0 s_1 s_2 \dots s_m s_0$ (s_0 为起始点, s_0 的坐标 $(x_0, y_0) \leftrightarrow i$ 是这些点中的最小值), 并且 $d(s_0, s_1) < d(s_0, s_m)$, 其中距离 $d(s_i, s_j)$ 定义为

$$d(s_i, s_j) = \sqrt{|x_i - x_j|^2 + |y_i - y_j|^2} \quad (6)$$

由公式(2)计算得到 j , 使得对于所有 $i \neq j$, $d(s_0, s_j) \leq d(s_0, s_i)$ 。如果 $j \neq 1$, 我们在 $s_0 \rightarrow s_1$ 直线上增加一个点 s_0^1 , 使得 $d(s_0, s_j) - 1 \leq d(s_0, s_0^1) < d(s_0, s_j)$ 。如果 $d(s_0^1, s_1)$ 不是 $\min_{j \in \{1, 2, \dots, m-1\}} d(s_0^1, s_j)$, 其中 \min 是取最小值的运算符, 那就在 $s_0^1 \rightarrow s_1$ 直线上再增加一个点 s_0^2 , 使得 $\min_{j \in \{1, 2, \dots, m-1\}} d(s_0^1, s_j) - 1 \leq d(s_0^2, s_1) < \min_{j \in \{1, 2, \dots, m-1\}} d(s_0^1, s_j)$, 继续这个过程, 我们得到新的闭合路径 $s_0 s_0^1 \dots s_0^{m_0} s_1 s_2 \dots s_m s_0$ 。然后将 s_1 作为路径 $s_1 s_2 \dots s_m s_0$ 的起始点, 继续上述的过程, 直到 s_{m-1} 作为路径 $s_{m-1} s_m s_0$ 的起始点, 最终生成新的闭合路径

$$s_0 s_0^1 \dots s_0^{\lambda_0} s_1 s_1^1 \dots s_1^{\lambda_1} \dots s_{m-2} s_{m-2}^1 \dots s_{m-2}^{\lambda_{m-2}} s_{m-1} s_m s_0 \quad (7)$$

将(7)中的路径的点作为形状的顶点表示成最大纠缠态, 并通过量子线路存储在量子系统中, 然后检测出这个最大纠缠态, 并将 s_0 为起始点, 然后选择距离最小的点(假设为 s_1)作为它的下一个点, 并将 s_1 作为新的起始点, 继续选取距离最小的点作为下一个新的起始点, 最终得到一个闭合路径就是所需的几何形状。将图5中间的几何形状用改进的方法重新表示在图6中。

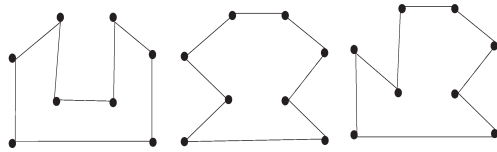


图5 相同顶点的3种可能的几何形状(不能出现交叉线)
Fig.5 Three possible geometrical shapes with same vertexes

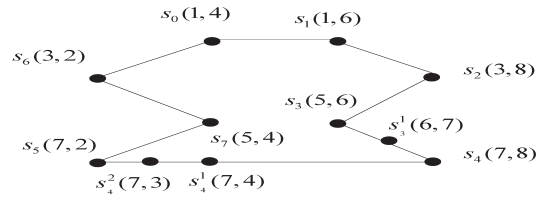


图6 用改进后的储存方法表示几何形状
Fig.6 Representing geometrical shape by using improved storage method

3.2 改进的几何形状的检索方法

采用增加最大纠缠的粒子数来保证检索出来的形状无二义性, 但这对有些图像将增加检测的次数。因此提供第二种检索方法: 当图像中的形状的个数不多时, 采用直接测量的方式。

定义投影测量中的可观测量算子 $M_1 = \sum_{j=0}^{2^n-1} m_j P_j$, $P_j = (|j\rangle\langle j|)$, 其中 $j = j_1 j_2 \dots j_n$ 是 j 的二进制展开, 也就是说, $|j\rangle$ 是 $|j_1\rangle |j_2\rangle \dots |j_n\rangle$ 的简练写法。然后用可测量算子 M_1 去测量量子态 $|\psi_{n \times n_y}\rangle$, 得到 m_j 的概率为 $p(m_j) = \langle \psi_{n \times n_y} | P_j | \psi_{n \times n_y} \rangle$, 即得到 $|j\rangle$ 的概率为 $p(m_j)$ 。依据先验知识, 知道量子系统中的量子态为

$$|\psi_{n \times n_y}\rangle = \bigotimes_{i=1, i \in B}^{n_x \times n_y} |0\rangle_i \otimes |GHZ\rangle_{s_1} \otimes |GHZ\rangle_{s_2} \otimes \dots \otimes |GHZ\rangle_{s_m} \quad (8)$$

其中 B 是 m 个形状的顶点集合。

由 $|GHZ\rangle$ (见公式(1)) 的特性, 通过 M_1 测量得到 $|j\rangle$, $j = j_1 j_2 \dots j_n$ 中 1 的个数为 s_1, s_2, \dots, s_m 的概率均为 2^{-m} , 因此能以 100% 的概率检索出 m 个最大纠缠态, 测量次数的期望 μ 是 $\mu = 2^m$ 。当 m 较小而 $s = n_x \times n_y$ 较大时, $2^m \ll C_s^{s_1} C_{s-s_1}^{s_2} \dots C_{s-s_1-s_2-\dots-s_{m-1}}^{s_m}$ 。为了使上面的描述更清楚, 我们以图2中的图像为例。当形状为四边形时, 3.2 节中改进的存储方法并不增加最大纠缠态的粒子数, 因此先验知识是 5, 5, 4, 4, 以 100% 的概率测量出 2 个 4 粒子的最大纠缠态的测量次数的期望是 4, 而用贝尔型不等式测量需要 75 710 250 次测量。

4 结论

设计了实现图像形状存储的量子线路, 并改进了文献[11]中的存储方法, 只需存储少量的先验知识,

就可以准确的检索出图像几何形状,并根据先验知识,可以选择用贝尔型不等式检测还是直接用投影测量算子直接测量。对于图像中的几何形状个数较少而图像的像素较多,用直接测量的次数远远小于用贝尔型不等式测量的次数。

参考文献:

- [1] FEYNMAN R P. Simulating physics with computers[J]. *International J Theoretical Physics*, 1982, 21: 467-488.
- [2] SHOR P W. Algorithms for quantum computation: discrete logarithms and factoring [C]//*Proceedings of the 35th Annual IEEE Symposium on Foundations of Computer Science*, Washington: Proceedings of IEEE, 1994: 124-134.
- [3] DEUTSCH D. Quantum theory, the Church-Turing principle and the universal quantum computer[J]. *Proc R Soc London A*, 1985, 400: 97-117.
- [4] GROVER L K. A fast quantum mechanical algorithm for database search [C]//*Proceedings of the 28th Annual ACM Symposium on Theory of Computing*, New York: ACM, 1996: 212-219.
- [5] VENEGAS-ANDRACA S E, BOSE S. Storing, processing and retrieving an image using quantum mechanics[J]. *Proc SPIE Conf Quantum Information and Computation*. 2003, 5105: 137-147.
- [6] LI HAISHENG, ZHU RIGUI, SONG LAN, et al. Image storage, retrieval, compression and segmentation in a quantum system[J]. *Quantum Inf. Process*, 2013, 12: 2269-2290.
- [7] ZHOU RIGUI, WU QIAN, ZHANG MANQUN. Quantum image encryption and decryption algorithms based on quantum image geometric transformations[J]. *International J Theoretical Physics*, 2013, 52(6): 1802-1817.
- [8] NIELSEN M A, CHUANG I L. *Quantum computation and quantum information* [M]. Cambridge: Cambridge University Press, 2000: 188-200.
- [9] BARENCO A, BENNETT H C. Elementary gates for quantum computation[J]. *Phys Rev A*, 1995, 52: 3457-3467.
- [10] 周正威, 郭光灿. 量子信息讲座续讲 第三讲 量子纠缠态[J]. *物理*, 2010, 9(11): 695-699.
- [11] VENEGAS-ANDRACA S E, BALL J L. Processing images in entangled quantum systems[J]. *Quantum Inf Process*, 2010, 9(1): 1-11.
- [12] DATTA R, JOSHI D, LI J, et al. Image retrieval: ideas, influences, and trends of the new age[J]. *ACM Computing Surveys*, 2008, 40(2): 5.
- [13] SEEVINCK M, SVETLICHNY G. Bell-type inequalities for partial separability in N-particle systems and quantum mechanical violations[J]. *Phys Rev Lett*, 2002, 89(060401): 1-4.

Storage and Retrieval of Image Geometry Shapes in Entangled Quantum Systems

Li Haisheng, Zhou Rigui

(School of Information Engineering, East China Jiaotong University, Nanchang 330013, China)

Abstract: The segmentation of image geometrical shapes is a key technology in content-based image search. In order to improve the efficiency and accuracy of content-based image search, image geometrical shapes may be stored in advance. The paper describes that geometrical shapes are represented by maximally-entangled quantum states, and designs a quantum circuit to achieve geometrical shapes storage. Moreover, improved methods of storage and retrieval for geometrical shapes are proposed.

Key words: quantum image processing; image storage and retrieval; quantum entanglement